

# Méthodes assistées par ordinateur pour la description rigoureuse d'ensembles atteignables de problèmes linéaires contraints

Ivan Hasenohr

Doctorat sous la direction de Camille Pouchol, Yannick Privat et Christophe Zhang

Université Paris Cité

Groupe de Travail Modélisation, Analyse, Simulation



- 1 Théorie du contrôle
- 2 Non-atteignabilité
- 3 Preuves assistées par ordinateur
- 4 Atteignabilité assistée par ordinateur
- 5 Conclusion

- 1 Théorie du contrôle
- 2 Non-atteignabilité
- 3 Preuves assistées par ordinateur
- 4 Atteignabilité assistée par ordinateur
- 5 Conclusion

On appelle système contrôlé le système :

$$\begin{cases} \dot{y}(t) = Ay(t) + Bu(t) & \forall t \in [0, T] \\ y(0) = y_0 \in \mathbb{R}^n \\ u(t) \in \mathcal{U}_0 \subset \mathbb{R}^m & \forall t \in [0, T], \end{cases} \quad (S)$$

et on note  $y(\cdot; y_0, u) : [0, T] \rightarrow \mathbb{R}^n$  sa solution, ainsi que  $\mathcal{U} = \{u \in L^2(0, T; \mathbb{R}^m), \forall t \in [0, T], u(t) \in \mathcal{U}_0\}$ . En notant  $(S_t)_{t \geq 0}$  le semi-groupe engendré par  $A$  et  $L_T$  l'application entrée-sortie :

$$L_T : u \mapsto \int_0^T S_{T-t} Bu(t) dt,$$

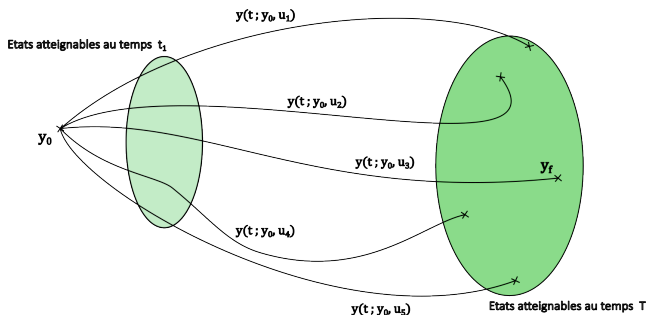
on a :

$$y(T; y_0, u) = S_T y_0 + L_T u.$$

# Atteignabilité

Soit  $y_f \in \mathbb{R}^n$ , soit  $\mathcal{U} \subset L^2(0, T, \mathbb{R}^m)$ . On dit que  $y_f$  est  $\mathcal{U}$ -atteignable pour  $(S)$  de  $y_0$  en temps  $T$  si :

$$\exists u \in \mathcal{U}, \quad y(T; y_0, u) = y_f \iff \exists u \in \mathcal{U}, \quad L_T u = y_f - S_T y_0.$$



Par la suite,  $\mathcal{U}_0$  sera supposé convexe et compact, et on prendra  $y_0 = 0$ . On notera  $L_T \mathcal{U}$  l'ensemble atteignable.

Considérons le système

$$\begin{cases} \dot{y} = Ay + Bu \\ y(0) = 0 \in \mathbb{R}^2 \\ u(t) \in [-M, M] \quad \forall t \in [0, T], \end{cases}$$

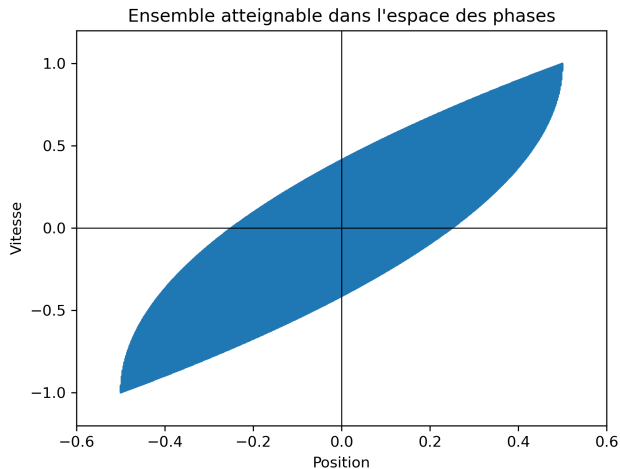
avec

$$A = \begin{pmatrix} 0 & 1 \\ 0 & 0 \end{pmatrix} \quad ; \quad B = \begin{pmatrix} 0 \\ 1 \end{pmatrix}.$$

# Atteignabilité

Exemple : le tram

Pour ce système, avec  $T = M = 1$  :



- 1 Théorie du contrôle
- 2 Non-atteignabilité**
- 3 Preuves assistées par ordinateur
- 4 Atteignabilité assistée par ordinateur
- 5 Conclusion

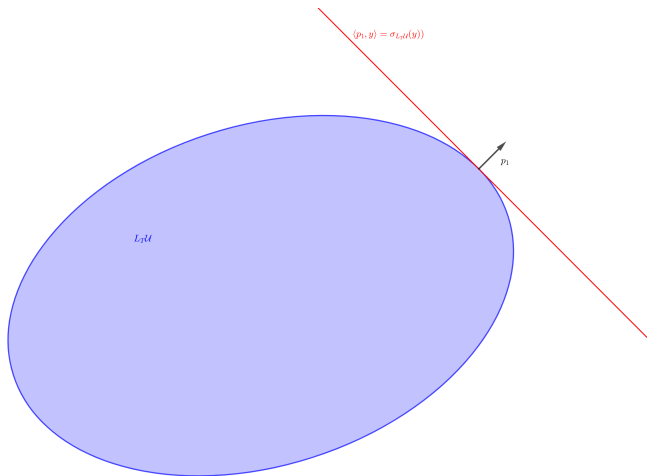
Pour  $A$  convexe, fermé et non-vide dans un espace de Hilbert  $H$ , on appelle fonction support :

$$\sigma_A : \begin{cases} H & \rightarrow \mathbb{R} \cup \{+\infty\} \\ y & \mapsto \sup_{x \in A} \langle x, y \rangle. \end{cases}$$

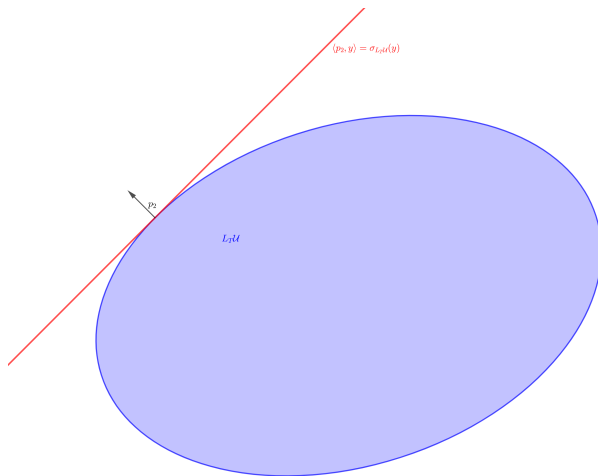
En particulier :

$$\forall p_f \in \mathbb{R}^n, \quad \sigma_{L_T \mathcal{U}}(p_f) = \sigma_{\mathcal{U}}(L_T^* p_f).$$

# Fonction support



# Fonction support



# Théorème de non-atteignabilité

On note :

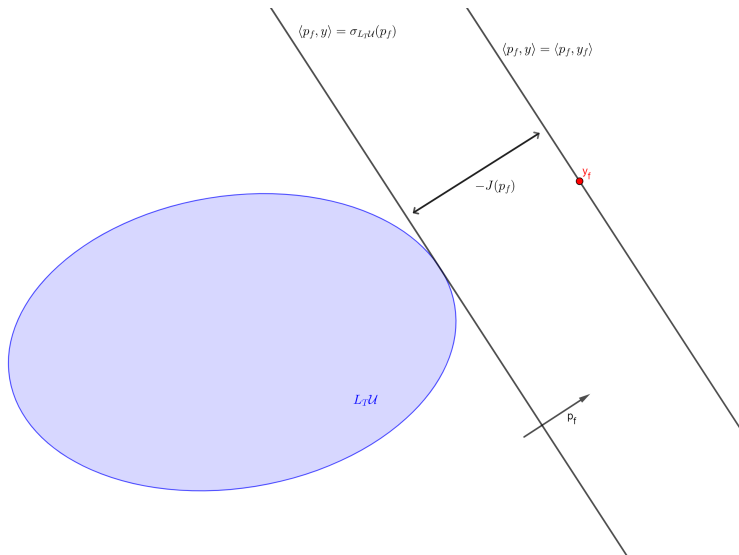
$$J : \begin{cases} \mathbb{R}^n & \rightarrow \mathbb{R} \\ p_f & \mapsto \sigma_{\mathcal{U}}(L_T^* p_f) - \langle p_f, y_f \rangle. \end{cases}$$

## Théorème

*S'il existe  $p_f \in \mathbb{R}^n$  tel que  $J(p_f) < 0$ , alors  $y_f$  n'est pas  $\mathcal{U}$ -atteignable pour  $(S)$  en temps  $T$ .*

On remarquera que ce résultat est également valable en dimension infinie.

# Théorème de non-atteignabilité



- 1 Théorie du contrôle
- 2 Non-atteignabilité
- 3 Preuves assistées par ordinateur**
- 4 Atteignabilité assistée par ordinateur
- 5 Conclusion

## Théorème

*S'il existe  $p_f \in \mathbb{R}^n$  tel que  $J(p_f) < 0$ , alors  $y_f$  n'est pas  $\mathcal{U}$ -atteignable pour (S) en temps  $T$ .*

## Théorème

*S'il existe  $p_f \in \mathbb{R}^n$  tel que  $J(p_f) < 0$ , alors  $y_f$  n'est pas  $\mathcal{U}$ -atteignable pour (S) en temps  $T$ .*

## Théorème

*Soit  $J_d : \mathbb{R}^n \rightarrow \mathbb{R}$  une discrétisation de  $J$ , et  $e : \mathbb{R}^n \rightarrow \mathbb{R}_+$  tels que*

$$\forall p_f \in \mathbb{R}^n, \quad J_d(p_f) - e(p_f) < J(p_f) < J_d(p_f) + e(p_f).$$

*Alors s'il existe  $p_f \in \mathbb{R}^n$  tel que  $J_d(p_f) + e(p_f) < 0$ , alors  $y_f$  n'est pas  $\mathcal{U}$ -atteignable pour (S) en temps  $T$ .*

$$J: \begin{cases} \mathbb{R}^n & \rightarrow \mathbb{R} \\ p_f & \mapsto \sigma_u(L_T^* p_f) - \langle p_f, y_f \rangle. \end{cases}$$

$$\sigma_u: \begin{cases} L^2(0, T; \mathbb{R}^m) & \rightarrow \mathbb{R} \\ u & \mapsto \sup_{v \in L^2(0, T; \mathbb{R}^m)} \langle u, v \rangle \end{cases}$$

$$L_T^*: \begin{cases} \mathbb{R}^n & \rightarrow L^2(0, T; \mathbb{R}^m) \\ p_f & \mapsto (t \mapsto B^* S_{T-t}^* p_f) \end{cases}$$

# Discrétisation de l'équation adjointe

## Fonction support

Comme on suppose  $\mathcal{U}$  de la forme :

$$\mathcal{U} = \{u \in L^2(0, T; \mathbb{R}^m), \forall t \in [0, T], u(t) \in \mathcal{U}_0,$$

on a :

$$\forall u \in L^2(0, T; \mathbb{R}^m), \quad \sigma_{\mathcal{U}}(u) = \int_0^T \sigma_{\mathcal{U}_0}(u(t)) dt,$$

où  $\sigma_{\mathcal{U}_0}$  est 1-homogène, et  $M$ -lipschitzienne (car  $\mathcal{U}_0 \subset B(0, M) \subset \mathbb{R}^n$ ).

On discrétise donc l'EDO adjointe avec un schéma d'ordre 1, Euler implicite.

# Discrétisation de l'équation adjointe

## Schéma numérique

$$(L_T^*)_d : p_f \mapsto \left( B^* (\text{Id} - \Delta t A^*)^{N_t - i} p_f \right)_{i \in \llbracket 0, N_t - 1 \rrbracket}$$

$$(\sigma_{\mathcal{U}})_d : (u_i)_{i \in \llbracket 0, N_t - 1 \rrbracket} \mapsto \sum_{i=0}^{N_t - 1} \sigma_{\mathcal{U}_0}(u_i)$$

$$J_d : p_f \mapsto (\sigma_{\mathcal{U}})_d((L_T^*)_d p_f) - \langle p_f, y_f \rangle.$$

## Théorème

Pour l'EDO adjointe :

$$\begin{cases} \dot{p}(t) = A^* p(t) & \forall t \in [0, T] \\ p(0) = p_f, \end{cases}$$

avec :

- $(p_n)_{n \in \llbracket 0, N_t \rrbracket}$  la discrétisation de  $p$  par le schéma d'Euler implicite
- $-A^*$   $m\alpha$ -accrétif, avec  $\alpha \in [0, \frac{\pi}{2}]$ .

Alors  $\forall n \in \llbracket 0, N_t \rrbracket$ ,

$$\|p(t_n) - p_n\| \leq \Delta t \min \left( \frac{1 + \sqrt{2}}{\cos(\alpha)} \|A^* p_f\|, \frac{1}{2} t_n \|(A^*)^2 p_f\| \right).$$

## Théorème

*Sous les hypothèses précédentes,  $\forall p_f \in \mathbb{R}^n$  :*

$$|J(p_f) - J_{\Delta t}(p_f)| \leq \Delta t M \|B\| \left( \frac{1}{2} T \|A\| \|p_f\| + \sum_{n=0}^{N_t-1} \|p(t_n) - p_n\| \right) + \|y_0\| \|p(T) - p_{N_t}\|.$$

*En particulier :  $|J(p_f) - J_{\Delta t}(p_f)| = O(\Delta t)$ .*

# Erreurs d'arrondis

## Arithmétique d'intervalles

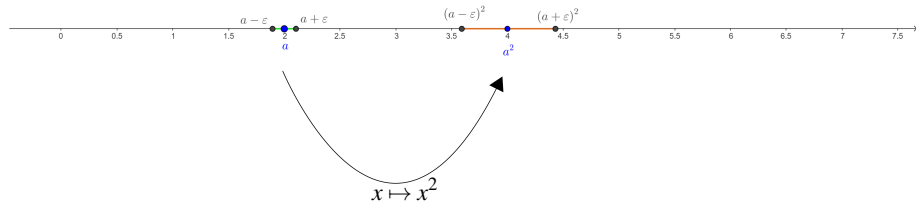
Pour gérer les erreurs d'arrondis effectuées par l'ordinateur, il faut considérer la potentielle erreur et en tenir compte à chaque calcul :



# Erreurs d'arrondis

## Arithmétique d'intervalles

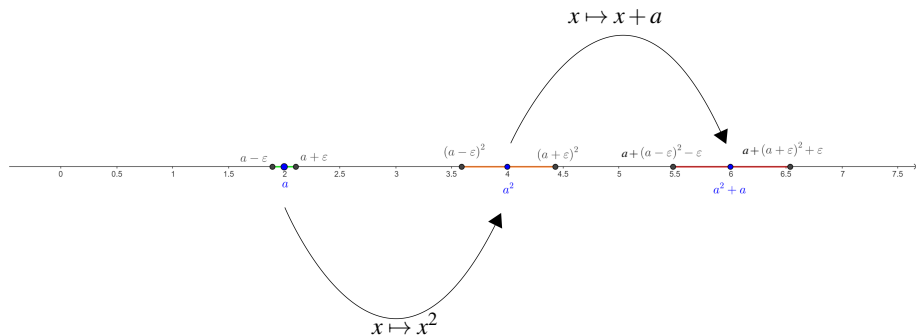
Pour gérer les erreurs d'arrondis effectuées par l'ordinateur, il faut considérer la potentielle erreur et en tenir compte à chaque calcul :



# Erreurs d'arrondis

## Arithmétique d'intervalles

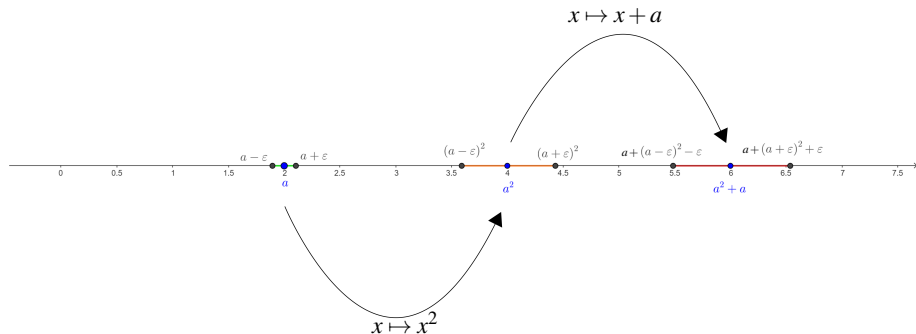
Pour gérer les erreurs d'arrondis effectuées par l'ordinateur, il faut considérer la potentielle erreur et en tenir compte à chaque calcul :



# Erreurs d'arrondis

## Arithmétique d'intervalles

Pour gérer les erreurs d'arrondis effectuées par l'ordinateur, il faut considérer la potentielle erreur et en tenir compte à chaque calcul :



En pratique, le package Intlab (sur Matlab) de Siegfried M. Rump s'en charge parfaitement.

## Théorème

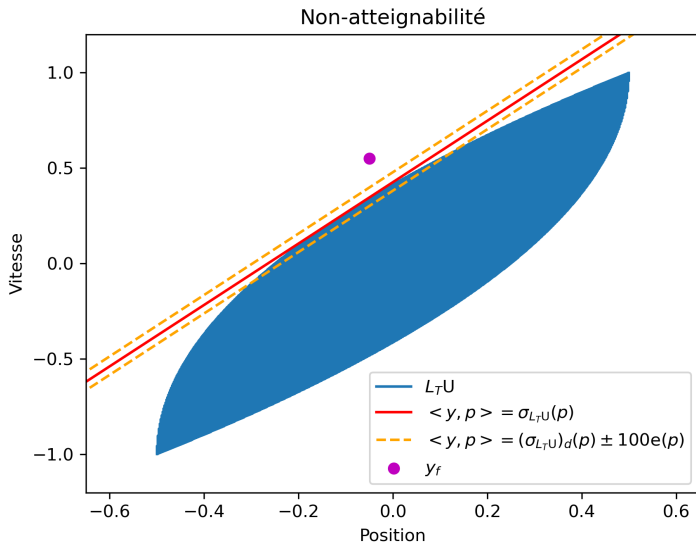
Soit :

- $J_d : \mathbb{R}^n \rightarrow \mathbb{R}$  la discrétisation de  $J$  via le schéma d'Euler implicite
- $e_d : \mathbb{R}^n \rightarrow \mathbb{R}_+^*$  l'erreur totale de discrétisation
- $e_a : \mathbb{R}^n \rightarrow \mathbb{R}_+^*$  l'erreur totale d'arrondis lors du calcul de  $J_d$ .

On a alors :

$$\forall p_f \in \mathbb{R}^n, \quad J_d(p_f) - e_d(p_f) - e_a(p_f) < J(p_f) < J_d(p_f) + e_d(p_f) + e_a(p_f),$$

et s'il existe  $p_f \in \mathbb{R}^n$  tel que  $J_d(p_f) + e_d(p_f) + e_a(p_f) < 0$ , alors  $y_f$  n'est pas  $\mathcal{U}$ -atteignable pour  $(S)$  en temps  $T$ .



Le problème de contrôle se reformule :

$$\inf_{u \in L^2(0, T; \mathbb{R}^m)} \delta_{\mathcal{U}}(u) + \delta_{\{y_f\}}(L_T u),$$

où, pour  $C$  un ensemble convexe fermé non-vide :

$$\delta_C(x) = \begin{cases} 0 & \text{si } x \in C \\ +\infty & \text{si } x \notin C. \end{cases}$$

Le problème de contrôle se reformule :

$$\inf_{u \in L^2(0, T; \mathbb{R}^m)} \delta_{\mathcal{U}}(u) + \delta_{\{y_f\}}(L_T u),$$

où, pour  $C$  un ensemble convexe fermé non-vide :

$$\delta_C(x) = \begin{cases} 0 & \text{si } x \in C \\ +\infty & \text{si } x \notin C. \end{cases}$$

Le problème de minimisation dual associé est :

$$\inf_{p_f \in \mathbb{R}^n} \sigma_{\mathcal{U}}(L_T^* p_f) - \langle p_f, y_f \rangle.$$

Sous des hypothèses assez faibles, on obtient :

$$\inf_{u \in L^2(0, T; \mathbb{R}^m)} \delta_{\mathcal{U}}(u) + \delta_{\{y_f\}}(L_T u) = - \inf_{p_f \in \mathbb{R}^n} \sigma_{\mathcal{U}}(L_T^* p_f) - \langle p_f, y_f \rangle.$$

Cette structure primal-dual permet l'utilisation d'algorithmes efficaces pour la recherche de minimiseurs. Par exemple, l'algorithme de Chambolle-Pock.

Méthode :

- 1 Algorithme de Chambolle-Pock : minimiser  $J_d$  pour trouver  $p_f \in \mathbb{R}^n$  tel que  $J_d(p_f) < 0$
- 2 IntLab : vérifier que  $J_d(p_f) + e_d(p_f) + e_a(p_f) < 0$ .

## Théorème

Pour  $y_0 = \begin{pmatrix} 0 \\ 0 \end{pmatrix}$ ,  $M = 1$ ,  $T = 1$ ,  $A = \begin{pmatrix} 0 & 1 \\ 0 & 0 \end{pmatrix}$ ,  $B = \begin{pmatrix} 0 \\ 1 \end{pmatrix}$ , pour le système contrôlé

$$\begin{cases} \dot{y}(t) = Ay(t) + Bu(t) & \forall t \in [0, T] \\ y(0) = y_0 \\ u(t) \in [-M, M] & \forall t \in [0, T], \end{cases}$$

le point  $y_f = \begin{pmatrix} 0 \\ 0.5 \end{pmatrix}$  n'est pas atteignable. En effet, pour  $p_f = \begin{pmatrix} -0.8 \\ 0.6 \end{pmatrix}$ , on a

$$J(p_f; y_f) \in [-0.0513, -0.0483].$$

- 1 Théorie du contrôle
- 2 Non-atteignabilité
- 3 Preuves assistées par ordinateur
- 4 Atteignabilité assistée par ordinateur**
- 5 Conclusion

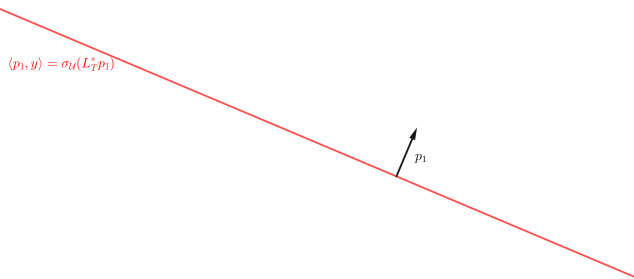
# Atteignabilité

## Approche géométrique



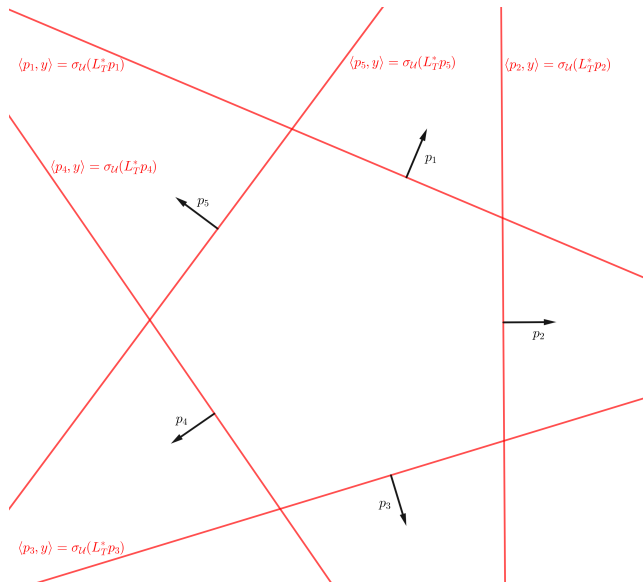
# Atteignabilité

## Approche géométrique



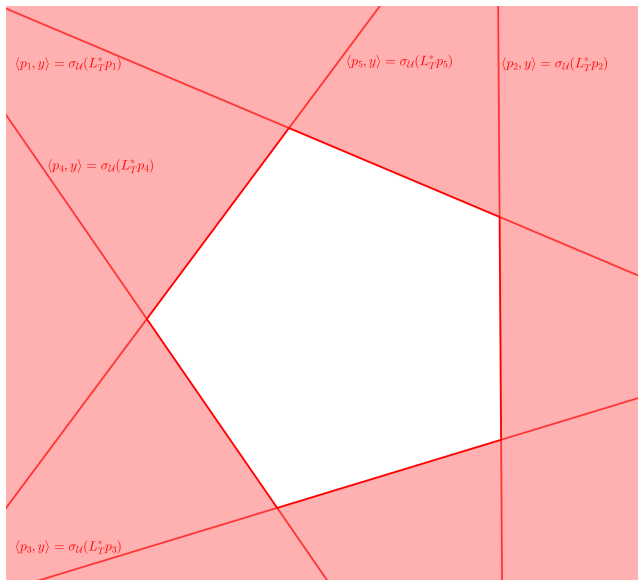
# Atteignabilité

## Approche géométrique



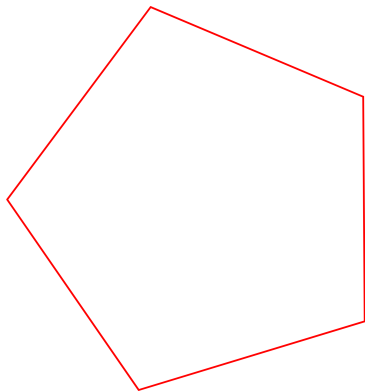
# Atteignabilité

## Approche géométrique



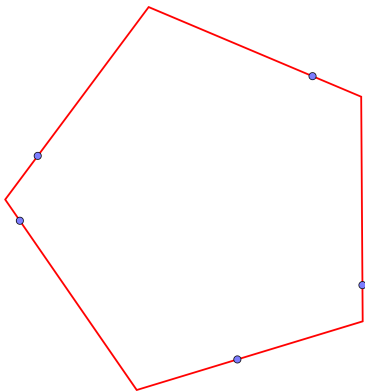
# Atteignabilité

Approche géométrique



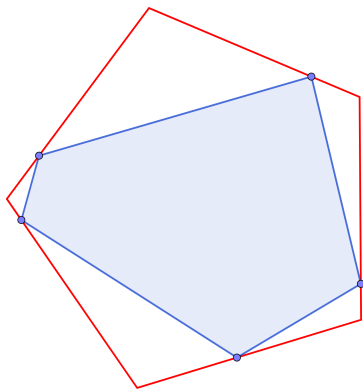
# Atteignabilité

## Approche géométrique



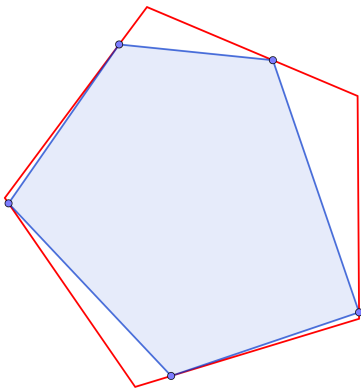
# Atteignabilité

## Approche géométrique



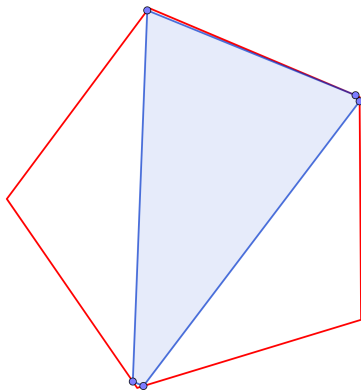
# Atteignabilité

## Approche géométrique



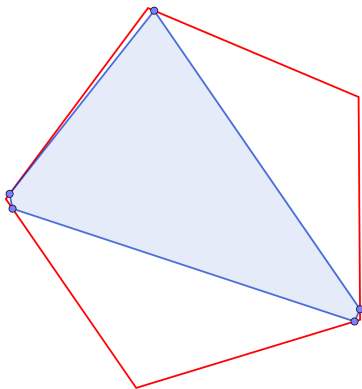
# Atteignabilité

## Approche géométrique



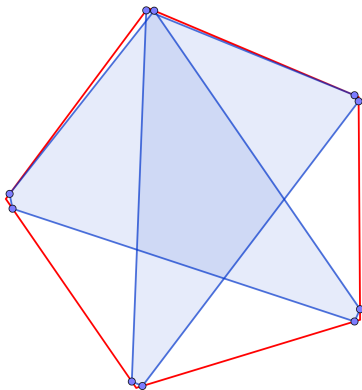
# Atteignabilité

## Approche géométrique



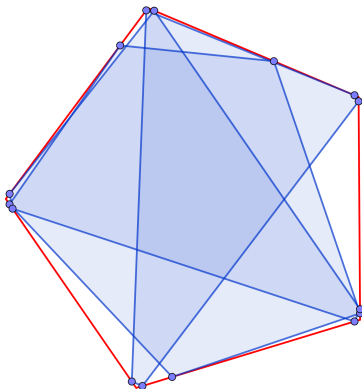
# Atteignabilité

Approche géométrique



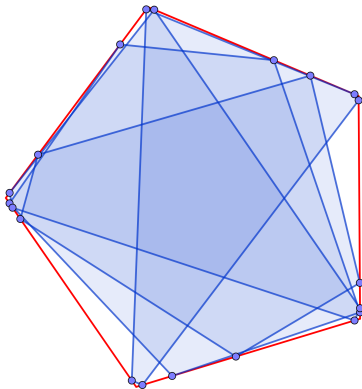
# Atteignabilité

Approche géométrique



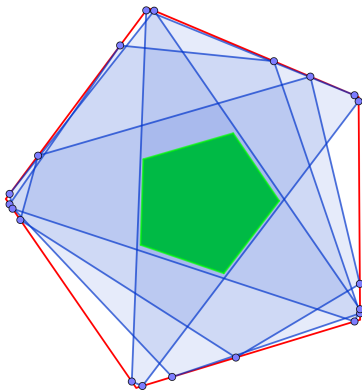
# Atteignabilité

Approche géométrique



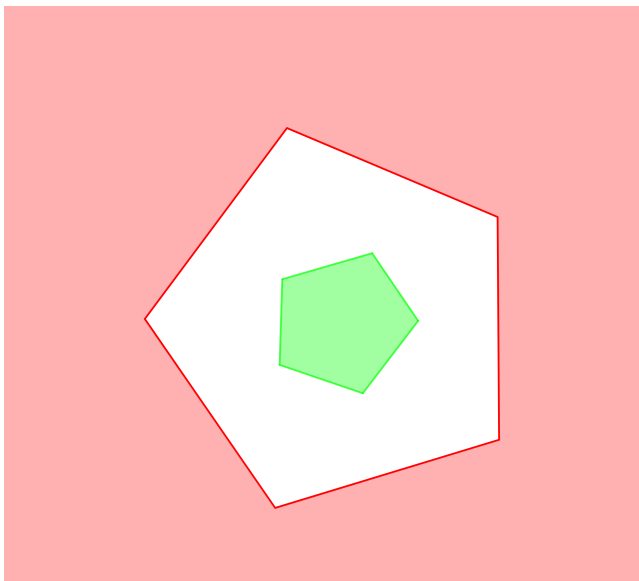
# Atteignabilité

Approche géométrique



# Atteignabilité

Approche géométrique



- 1 Théorie du contrôle
- 2 Non-atteignabilité
- 3 Preuves assistées par ordinateur
- 4 Atteignabilité assistée par ordinateur
- 5 Conclusion**

- Non-atteignabilité :
  - minimisation d'une fonctionnelle convexe pour prouver numériquement la non-atteignabilité d'un état
  - potentiellement extensible à la dimension infinie
  - article en cours de rédaction
- Atteignabilité :
  - détermination d'une approximation rigoureuse de l'ensemble atteignable par des polygones intérieurs et extérieurs
  - non-extensible à la dimension infinie